

УДК 621.315.592

© 1990

## ОПРЕДЕЛЕНИЕ КРИТИЧЕСКИХ ТОЧЕК ЗОННОГО СПЕКТРА ПО КОНЦЕНТРАЦИОННЫМ И ТЕМПЕРАТУРНЫМ ЗАВИСИМОСТЯМ МАГНИТНОЙ ВОСПРИИМЧИВОСТИ В СЛАБОМ МАГНИТНОМ ПОЛЕ

О. Е. Квятковский

Рассматривается поведение магнитной восприимчивости (МВ) в слабом магнитном поле как функции концентрации носителей тока и температуры  $\chi(n, T)$  в окрестности невырожденных критических точек зонного спектра. Показана принципиальная возможность по результатам измерений  $\chi(n, T)$  установить наличие критических точек зонного спектра, их положение в шкале концентраций носителей тока, а при определенных условиях и их тип. Найдено, что в невырожденной критической точке в глубине зоны  $\chi(n, T=0)$  имеет особенность того же типа, что и особенность Ван Хофа плотности состояний, рассматриваемой как функция энергии. Показано, что в низкотемпературном разложении вклада зонных электронов в МВ  $\chi_b$  коэффициент при  $T^2$  пропорционален второй производной  $\chi_b$  по концентрации носителей тока на уровне Ферми при  $T=0$ , что позволяет при определенных ограничениях на концентрационные и температурные зависимости остальных вкладов в МВ установить наличие особенностей Ван Хофа по дискретному набору экспериментальных точек  $\chi(n_i, T=0)$ . Показано, что изучение температурных зависимостей МВ при  $T > T_f$  также позволяет судить о наличии критических точек спектра в глубине зоны, а в некоторых случаях, в частности в рассмотренной ситуации с двумя близкими критическими точками, позволяет однозначно установить тип критической точки.

При прохождении уровня Ферми через критические точки зонного спектра (точки экстремумов и седловые точки) происходит качественная перестройка энергетического спектра носителей тока вблизи уровня Ферми. Изменение топологии поверхности Ферми приводит к сингулярному поведению плотности состояний в критических точках — особенностям Ван Хофа [1] — и, как следствие, к сингулярному поведению термодинамических величин и кинетических коэффициентов при  $T=0$  [2]. Согласно классификации Эренфеста, такие топологические переходы можно рассматривать как фазовые переходы  $2^{1/2}$  рода [2].

В большинстве работ, посвященных изучению топологических переходов, начиная с работы [2], рассматриваются металлы, в которых имеются критические точки, близкие к поверхности Ферми. Для их выявления используется деформация кристалла, как это предлагалось в [2], или исследуются металлические сплавы переменного состава [3, 4].

В то же время имеются материалы, например полупроводниковые соединения  $A^{IV}B^{VI}$ , многие оксиды со структурой типа перовскита и ряд других соединений, в которых с помощью легирования (или самолегирования) можно в широких пределах изменять концентрацию невымораживающихся при  $T=0$  зонных носителей тока. Из расчетов зонной структуры известно, что в таких материалах могут быть критические точки, близкие к краям зон, например в соединениях  $A^{IV}B^{VI}$  имеется несколько критических точек вблизи края валентной зоны, которые в принципе могут наблюдаться в области достижимых концентраций носителей тока [5].

В данной работе предлагается метод определения невырожденных критических точек зонного спектра в немагнитных материалах по результа-

там измерений зависимостей магнитной восприимчивости (МВ) в слабом магнитном поле от концентрации носителей тока  $n$  и температуры. Полная МВ состоит из нескольких вкладов, имеющих разные концентрационную и температурную зависимости<sup>1</sup>

$$\chi = \chi_i + \tilde{\chi}_b + \chi_d,$$

где  $\chi_i$  — вклад голых ионных остовов,  $\tilde{\chi}_b$  — вклад зонных электронов,  $\chi_d$  — вклад дефектов решетки и примесных атомов. Вклад ионных остовов  $\chi_i$  является фактически постоянной величиной. МВ дефектов и примесей  $\chi_d$  может в общем случае сложным образом зависеть от концентрации носителей тока и температуры. Если, однако, ограничиться механизмами легирования такими, что легирующие примесные атомы или дефекты решетки являются полностью ионизованными при  $T=0$ , и областью температур, в которой состояние и концентрация дефектов решетки и примесных атомов не изменяются, то  $\chi_d$  в этих условиях не зависит от температуры. Если при этом ограничиться типичными для рассматриваемых материалов концентрациями легирующих примесных атомов или дефектов решетки  $n_d$ , не превышающими нескольких атомных процентов, то  $\chi_d$  является линейной функцией  $n_d$  и соответственно связана линейной зависимостью с концентрацией носителей тока  $n$ . При выполнении сформулированных выше условий температурная зависимость и особенности в концентрационной зависимости МВ полностью определяются поведением зонного вклада  $\tilde{\chi}_b$ .

Предлагаемый метод основан на совпадении особых точек плотности состояний  $\nu(n)$  и зонного вклада в МВ  $\tilde{\chi}_b(n, T=0)$ , а также на совпадении типов особенностей этих величин в критических точках спектра, за исключением, возможно, точек вырождения спектра.

Имеется много работ, посвященных расчету концентрационных и температурных зависимостей  $\tilde{\chi}_b$  в узкощельных материалах по известному энергетическому спектру вблизи краев зон (см., например, [6-9]). Существенное отличие данной работы в том, что в ней фактически рассматривается обратная задача о возможности получения определенной информации о спектре носителей тока по экспериментальным данным для МВ, что позволяет изучать критические точки спектра в глубине зоны.

В работе рассмотрены концентрационные и температурные зависимости различных вкладов в МВ и поведение  $\chi(n, T)$  в окрестности критических точек зонного спектра. Показано, что имеется принципиальная возможность однозначно установить наличие особенностей  $\chi(n, T=0)$ , соответствующих критическим точкам спектра, по экспериментальным данным для  $\chi(n, T=0)$  и зависимостям  $\chi(n, T)$  в области низких температур, а также установить принадлежность критической точки к одной из двух групп (минимум или седловая точка 2-го типа или максимум и седловая точка 1-го типа). Рассматривается также влияние критических точек в глубине зоны на высокотемпературную зависимость МВ от температуры.

## 1. Концентрационные зависимости МВ в окрестности критических точек зонного спектра

Как было отмечено выше вопрос об особенностях концентрационных зависимостей МВ сводится к изучению концентрационной зависимости вклада зонных электронов  $\tilde{\chi}_b$ . Точное микроскопическое выражение для МВ системы невзаимодействующих блоховских электронов кристалла получено в работах [10-12]. Согласно [12],

$$\tilde{\chi}_b = \chi_b + \chi_c,$$

<sup>1</sup> МВ кристалла является тензором 2-го ранга. Для целей настоящей работы достаточно изучения величины  $\chi = 1/3 \text{Sp } \hat{\chi}$ , т. е. фактически МВ поликристаллов.

где  $\chi_c$  — вклад носителей тока,  $\chi_b$  — вклад прямых межзонных переходов из заполненных состояний. В отсутствие носителей тока  $\chi_b$  является вкладом заполненных валентных зон и вместе с  $\chi_c$  составляет так называемый решеточный вклад в МВ. В дальнейшем решеточный вклад будет считаться выделенным в отдельное слагаемое и под  $\chi_b$  будет подразумеваться вклад межзонных переходов из состояний, занятых носителями тока (со знаком минус для дырок).

Различие между  $\chi_b$  и  $\chi_c$  состоит в том, что  $\chi_b$  является линейным функционалом от равновесной функции распределения носителей тока, а  $\chi_c$  — линейным функционалом от ее производной по энергии, т. е. при  $T=0$  в  $\chi_c$  дают вклад только электроны с поверхности Ферми

$$\chi_b = \frac{1}{V} \sum_{\lambda \mathbf{k}} A_{\lambda \mathbf{k}} f(E_{\lambda \mathbf{k}} - \mu), \quad \chi_c = \frac{1}{V} \sum_{\lambda \mathbf{k}} B_{\lambda \mathbf{k}} \frac{\partial}{\partial \mu} f(E_{\lambda \mathbf{k}} - \mu), \quad (1)$$

где  $\mu$  — химический потенциал,  $E_{\lambda \mathbf{k}}$  — энергия одночастичных блоховских состояний  $|\lambda \mathbf{k}\rangle$ ,

$$f(E - \mu) = [\exp((E - \mu)/T) + 1]^{-1} \quad (2)$$

— функция Ферми—Дирака;  $A_{\lambda \mathbf{k}}$ ,  $B_{\lambda \mathbf{k}}$  — коэффициенты, определяемые зонной структурой кристалла [12].

Вклад носителей тока  $\chi_c$  является суммой орбитального вклада Ландау—Пайерлса ( $LP$ ) и парамагнитного эффективного спинового ( $ES$ ) вклада, обобщающего паулиевский спиновый парамагнетизм на случай кристаллов [12]

$$\chi_c = \chi_{LP} + \chi_{ES},$$

где

$$\chi_{LP} = -\frac{e^2 \hbar^2}{6m_0^2 c^2} \sum_{\lambda} 2 \int \frac{d^3 k}{(2\pi)^3} F(\lambda \mathbf{k}) \frac{\partial}{\partial \mu} f(E_{\lambda \mathbf{k}} - \mu),$$

$$F(\lambda \mathbf{k}) = \frac{m_0^2}{6\hbar^4} \left[ \left( \sum_{\alpha} Q_{\alpha\alpha} \right)^2 - \sum_{\alpha, \beta} Q_{\alpha\beta}^2 \right], \quad Q_{\alpha\beta} = \frac{\partial^2}{\partial k_{\alpha} \partial k_{\beta}} E_{\lambda \mathbf{k}}, \quad (3)$$

$$\chi_{ES} = \frac{e^2 \hbar^2}{8m_0^2 c^2} \sum_{\lambda} 2 \int \frac{d^3 k}{(2\pi)^3} g^2(\lambda \mathbf{k}) \frac{\partial}{\partial \mu} f(E_{\lambda \mathbf{k}} - \mu),$$

$$g^2 = (g_1^2 + g_2^2 + g_3^2)/3, \quad (4)$$

$m_0$  — масса свободного электрона;  $g_1, g_2, g_3$  — главные значения эффективного  $g$ -фактора, определяющего спиновое расщепление уровней в магнитном поле [12, 13].

Рассмотрим вклад в  $\chi_c$  от окрестности невырожденной критической точки, расположенной в точке  $(\lambda_0, \mathbf{k}_0)$ . В общем случае может быть несколько эквивалентных критических точек для звезды вектора  $\mathbf{k}_0$ . В дальнейшем в таких случаях будет говориться об одной критической точке и подразумеваться суммирование по всем неэквивалентным точкам  $\mathbf{k}_0$ . В области параболичности спектра

$$F(\lambda_0, \mathbf{k}_0 + \mathbf{q}) \simeq F(\lambda_0, \mathbf{k}_0) = F_0 = m_0^2 \frac{m_1 + m_2 + m_3}{3m_1 m_2 m_3},$$

$$g(\lambda_0, \mathbf{k}_0 + \mathbf{q}) \simeq g(\lambda_0, \mathbf{k}_0), \quad (5)$$

$m_i^{-1}$  — главные значения тензора обратных эффективных масс в точке  $(\lambda_0, \mathbf{k}_0)$ . Из (3)—(5) следует, что при  $T=0$  в области параболичности спектра

$$\delta \chi_c(E_f) = B_c \delta \nu(E_f), \quad (6)$$

$$B_c = B_{\lambda_0 \mathbf{k}_0} = \frac{e^2 \hbar^2}{2m_0^2 c^2} \left[ \left( \frac{g(\lambda_0 \mathbf{k}_0)}{2} \right)^2 - \frac{1}{3} F_0 \right],$$

где  $\nu(E)$  — плотность состояний с учетом спина;  $\delta \nu(E)$  — вклад окрестности критической точки в плотность состояний;  $\varepsilon = E - E_c$ ;  $E_f = \mu$  ( $T=0$ );

$E_c = E_{\lambda_0 k_0}$ . Для аналитических критических точек ( $m_i^{-1} \neq 0$ ) имеют место следующие соотношения [1, 14]:

точка  $M_0$ , минимум ( $m_1, m_2, m_3 > 0$ )

$$\delta v(\varepsilon) = C\theta(\varepsilon)\varepsilon^{1/2}, \quad \delta n(\varepsilon) = v_c\varepsilon + 2/3C\theta(\varepsilon)\varepsilon^{3/2}, \quad (7)$$

точка  $M_1$ , седловая точка 1-го типа ( $m_1, m_2 > 0, m_3 < 0$ )

$$\delta v(\varepsilon) = \delta v_c - C\theta(-\varepsilon)(-\varepsilon)^{1/2}, \quad \delta n(\varepsilon) = v_c\varepsilon + 2/3C\theta(-\varepsilon)(-\varepsilon)^{3/2}, \quad (8)$$

точка  $M_2$ , седловая точка 2-го типа ( $m_1 > 0, m_2, m_3 < 0$ )

$$\delta v(\varepsilon) = \delta v_c - C\theta(\varepsilon)\varepsilon^{1/2}, \quad \delta n(\varepsilon) = v_c\varepsilon - 2/3C\theta(\varepsilon)\varepsilon^{3/2}, \quad (9)$$

точка  $M_3$ , максимум ( $m_1, m_2, m_3 < 0$ )

$$\delta v(\varepsilon) = C\theta(-\varepsilon)(-\varepsilon)^{1/2}, \quad \delta n(\varepsilon) = v_c\varepsilon - 2/3C\theta(-\varepsilon)(-\varepsilon)^{3/2}, \quad (10)$$

$\theta(\varepsilon)$  — функция Хэвисайда,  $v_c = v(E_c)$ ,  $\delta v_c = \delta v(E_c)$ ,  $n(E)$  — полная концентрация носителей тока,  $\delta n(E) = n(E) - n_c$ ,  $n_c = n(E_c)$ . Для экстремумов  $\delta v_c = 0$ , для седловых точек  $\delta v_c \neq 0$ . Для неаналитических критических точек, когда одна или несколько обратных масс  $m_i^{-1}$  обращаются в нуль, необходим учет непараболических членов разложения  $\varepsilon(\mathbf{q}) = E_{\lambda_0 k_0 + \mathbf{q}} - E_{\lambda_0 k_0}$ . В результате в выражениях (7)–(10) вместо  $(\pm\varepsilon)^{1/2}$ ,  $(\pm\varepsilon)^{3/2}$  появляются  $(\pm\varepsilon)^\alpha$  и  $(\pm\varepsilon)^{1+\alpha}$ , где  $0 \leq \alpha < 1/2$  и соответственно изменяются выражения для коэффициентов  $C$ .

С экспериментальной точки зрения интерес представляет зависимость особой части плотности состояний  $\delta v$  и соответственно  $\delta\chi_c$  от полной концентрации носителей тока  $n$ . Для минимума на краю зоны ( $v_c = n_c = 0$ )  $\delta v \sim n^{1/2}$ . Однако для критической точки в глубине зоны ( $v_c \neq 0, n_c \neq 0$ ) из (7)–(10) следует, что при  $|n - n_c| \ll 2v_c^2/C^2$

$$n - n_c = v_c\varepsilon, \quad \delta v(n) = \delta v_c \pm \frac{C}{\sqrt{v_c}} \begin{cases} \theta(n - n_c)(n - n_c)^{1/2}, \\ \theta(n_c - n)(n_c - n)^{1/2}. \end{cases} \quad (11)$$

Таким образом, в критических точках, расположенных в глубине зоны,  $v(n)$  и, следовательно,  $\chi_c(n)$  имеют особенность, хотя и с другим показателем, чем на краю зоны (1/2 вместо 1/3).

Отметим одно следствие из (6)–(11), которое понадобится в дальнейшем: при  $n = n_c$  вклад критической точки в  $\chi_c$  для экстремумов минимален (равен нулю), а для седловых точек — максимален.

Обсудим теперь концентрационную зависимость межзонного вклада  $\chi_b$  в окрестности невырожденной критической точки при  $T = 0$ . Рассмотрим величину  $\delta\chi_b = \chi_b(n) - \chi_b(n_c) = \chi_b(E_f) - \chi_b(E_c)$ . Согласно (1),

$$\delta\chi_b = \frac{1}{V} \sum_{\lambda k} A_{\lambda k} [f(E_{\lambda k} - E_f) - f(E_{\lambda k} - E_c)].$$

При  $T = 0$  величина  $\delta\chi_b$  определяется межзонами переходами из состояний  $E_{\lambda k}$  в слое между  $E_f$  и  $E_c$ . Выделим сначала вклад состояний, близких к критической точке. Для этого заметим, что коэффициенты  $A_{\lambda k}$  имеют вид [12]

$$A_{\lambda k} = \sum_{\mu} \frac{a_{\lambda\mu}(\mathbf{k})}{E_{\lambda k} - E_{\mu k}} + \sum_{\mu, \nu} \frac{b_{\lambda\mu\nu}(\mathbf{k})}{(E_{\lambda k} - E_{\mu k})(E_{\lambda k} - E_{\nu k})} + \sum_{\mu, \nu, \eta} \frac{c_{\lambda\mu\nu\eta}(\mathbf{k})}{(E_{\lambda k} - E_{\mu k})(E_{\lambda k} - E_{\nu k})(E_{\lambda k} - E_{\eta k})}, \quad (12)$$

где коэффициенты  $\hat{a}$ ,  $\hat{b}$  и  $\hat{c}$  построены из произведений матричных элементов операторов скорости и спина, свернутых по спиновым и пространственным индексам. Пусть  $E_m$  — минимальная энергия прямого межзонного

перехода из состояний  $|\lambda_0 \mathbf{k}_0\rangle$ . Тогда при  $|E_f - E_c| \ll E_m$  вклад состояний вблизи  $|\lambda_0 \mathbf{k}_0\rangle$  в  $\delta\chi_b$  принимает вид

$$\delta\chi_b(\lambda_0 \mathbf{k}_0) = A_c \frac{f}{V} \sum_{\mathbf{q}} [f(E_{\lambda, \mathbf{k}, \mathbf{q}} - E_f) - f(E_{\lambda, \mathbf{k}, \mathbf{q}} - E_c)],$$

где  $A_c = A_{\lambda_0 \mathbf{k}_0}$ . В результате для экстремума на краю зоны ( $\nu_c = n_c = 0$ ) получаем

$$\delta\chi_b = \chi_b = A_c n, \quad (13)$$

а для критических точек в глубине зоны ( $\nu_c \neq 0, n_c \neq 0$ )

$$\delta\chi_b(\lambda_0 \mathbf{k}_0) = A_c \frac{\delta\nu_c}{\nu_c} (n - n_c) \pm \frac{2}{3} A_c \frac{C}{\nu_c^{3/2}} \begin{cases} \theta(n - n_c) (n - n_c)^{3/2}, \\ \theta(n_c - n) (n_c - n)^{3/2}. \end{cases} \quad (14)$$

Отметим, что первое (линейное по  $n - n_c$ ) слагаемое в правой части (14) отлично от нуля только для седловых точек ( $\delta\nu_c \neq 0$ ) и отсутствует для экстремумов.

Рассмотрим теперь вклад состояний, близких к критической точке по энергии, но далеких в  $\mathbf{k}$ -пространстве. При  $|E_f - E_c| \ll E_c$

$$\delta\chi_b = \frac{1}{V} \sum_{\lambda \mathbf{k}} A_{\lambda \mathbf{k}} \frac{\partial}{\partial \mu} f \Big|_{\mu=E_c} (E_f - E_c), \quad (15)$$

откуда, учитывая (11), при  $T=0$  получаем

$$\delta\chi_b = \bar{A}_c (n - n_c), \quad \bar{A}_c = \frac{1}{\nu_c V} \sum_{\lambda \mathbf{k}} A_{\lambda \mathbf{k}} \delta(E_{\lambda \mathbf{k}} - E_c). \quad (16)$$

Здесь  $\bar{A}_c$  — коэффициент  $A_{\lambda \mathbf{k}}$ , усредненный по Ферми-поверхности, проходящей через критическую точку. Для экстремума на краю зоны выражение в правой части (15) обращается в нуль (как и  $\bar{A}_c$  в (16)), разложение  $\delta\chi_b$  по степеням  $E_f - E_c$  лишено смысла, так как в этом случае  $\chi_b$  неаналитически зависит от энергии, и поведение  $\chi_b(n)$  определяется вблизи края зоны выражением (13). Для вырожденных точек зонного спектра поведение  $\delta\chi_b$  существенно зависит от поведения коэффициентов  $\hat{a}$ ,  $\hat{b}$  и  $\hat{c}$  в (12)

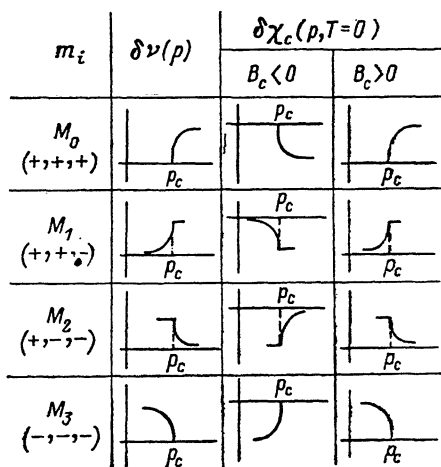


Рис. 1. Поведение особой части МВ при  $T=0$  в окрестности невырожденных нормальных ( $m_i^{-1} \neq 0$ ) критических точек спектра.

и решение задачи требует специального рассмотрения в каждом конкретном случае.

Таким образом, в непосредственной окрестности критической точки  $\chi_b(n) - \chi_b(n_c) \sim n - n_c$  и, следовательно,  $\chi_b$  может быть наряду с  $\chi_d$  и неособым вкладом носителей  $\chi_c^{(0)}$  включена в регулярную часть МВ, на фоне которой должна наблюдаться (слева или справа от  $n_c$  в зависимости от типа критической точки) особая часть  $\delta\chi_c \sim |n - n_c|^{1/2}$ , имеющая бесконечную производную в критической точке. Поведение  $\delta\chi_c(n)$  при  $T=0$  для различных типов критических точек и в зависимости от знака  $B_c$  в (6) представлено на рис. 1. Как видно из этого рисунка, парамагнитные (диамагнитные) носители в точке  $M_0$  приводят к особенностям того же

вида, что и диамагнитные (парамагнитные) носители в точке  $M_2$ , и аналогично для точек  $M_1$  и  $M_3$ . Различие имеется лишь между этими двумя парами точек. Результаты следующего раздела показывают, что необходимую для определения типа критической точки информацию в некоторых случаях дает анализ высокотемпературных зависимостей МВ вблизи критической точки.

При реализации предлагаемого метода возникает трудность, связанная с тем, что однозначно установить наличие особенностей Ван Хофа на экспериментальной кривой  $\chi(n, T=0)$  без дополнительной информации практически невозможно, поскольку через конечное число экспериментальных точек  $\chi_i = \chi(n_i, T=0)$  с учетом их неизбежного разброса из-за неточности измерений  $n_i$  и  $\chi_i$  всегда можно провести гладкую интерполирующую кривую, возможно немонотонную, но без особенностей. При этом немонотонность зависимости  $\chi(n, T=0)$  или просто резкое изменение МВ в некоторой области концентраций носителей тока можно объяснить, например, наличием нескольких, отличающихся знаком и имеющих разную зависимость, вкладов в МВ. Из результатов работы [15] следует также, что к немонотонному поведению каждого из вкладов  $\chi_{LP}(n)$  и  $\chi_{ES}(n)$  может приводить сильная непараболичность энергетического спектра носителей тока.

В разделе 2 будет показано, что необходимую дополнительную информацию о форме экспериментальной кривой  $\chi(n)$  при  $T=0$ , позволяющую установить наличие аномалий МВ, связанных с особенностями Ван Хофа для плотности состояний, можно получить из температурных зависимостей  $\chi(n, T)$  в области низких температур.

## 2. Температурные зависимости МВ

Как было отмечено ранее, температурная зависимость МВ определяется вкладом зонных электронов  $\tilde{\chi}_b$ . Переходя в выражениях (1) к интегрированию по энергиям, получаем

$$\begin{aligned}\chi_c(T) &= - \int_{-\infty}^{\infty} dE \chi_c(E, T=0) \frac{\partial}{\partial E} f(E - \mu), \\ \chi_b(T) &= \int_{-\infty}^{\infty} dE f(E - \mu) \frac{\partial}{\partial E} \chi_b(E, T=0),\end{aligned}\quad (17)$$

где

$$\begin{aligned}\chi_c(E, T=0) &= \frac{1}{V} \sum_{\lambda\mathbf{k}} B_{\lambda\mathbf{k}} \delta(E_{\lambda\mathbf{k}} - E), \\ \frac{\partial}{\partial E} \chi_b(E, T=0) &= \frac{1}{V} \sum_{\lambda\mathbf{k}} A_{\lambda\mathbf{k}} \delta(E_{\lambda\mathbf{k}} - E).\end{aligned}\quad (18)$$

В области не слишком высоких температур, когда можно пренебречь вкладом собственных носителей тока, можно представить вклад зонных электронов  $\tilde{\chi}_b$  в следующем виде:

$$\tilde{\chi}_b(T) = \chi_b(T) + \chi_c(T) = \int_0^{\infty} dE f(E - \mu) \frac{\partial}{\partial E} \tilde{\chi}_b(E, T=0).\quad (19)$$

При сделанных выше предположениях условие электронейтральности которое является уравнением относительно  $\mu(T)$ , можно записать в виде

$$n = \int_0^{\infty} dE v(E) f(E - \mu) = \int_0^{E_f} dE v(E).\quad (20)$$

Соотношения (17)–(20) полностью описывают температурную зависимость  $\tilde{\chi}_b$ , связанную с температурной зависимостью равновесной функции распределения носителей тока. Кроме того, имеется неявная зависимость  $\tilde{\chi}_b$  от температуры, связанная с влиянием теплового расширения кристалла, а также электрон-электронного и электрон-фононного взаимодействия на зонный спектр при конечных температурах. Эта зависимость может быть учтена, если в соотношениях (17)–(20) считать  $E_{\lambda k}$ ,  $E_c$  и соответственно  $A_{\lambda k}$  и  $B_{\lambda k}$  зависящими от температуры величинами.

а) Низкие температуры. Рассмотрим область низких температур  $T \ll T_f$  (о величине температуры вырождения  $T_f$  см. ниже). При сделанных выше предположениях о поведении МВ дефектов и примесей  $\chi_d$  и при учете лишь явной температурной зависимости  $\tilde{\chi}_b$  через функцию распределения носителей тока имеет место равенство (при  $T \ll T_f$ )

$$\chi(T) - \chi(T=0) = \frac{\pi^2}{6} v^2(n) \frac{\partial^2}{\partial n^2} \chi(n, T=0) T^2 + O(T^4). \quad (21)$$

Действительно, применяя низкотемпературное разложение [14] к правой части равенства (19) и учитывая, что  $\partial/\partial E = v \partial/\partial n$ , получаем

$$\begin{aligned} \chi(T) - \chi(T=0) &\simeq \tilde{\chi}_b(T) - \tilde{\chi}_b(T=0) = \frac{\partial}{\partial E} \tilde{\chi}_b(E=E_f, T=0) \delta\mu(T) + \\ &+ \frac{\pi^2}{6} \frac{\partial^2}{\partial E^2} \tilde{\chi}_b(E=E_f, T=0) T^2 + O(T^4) = \\ &= \left[ v \delta\mu(T) + \frac{\pi^2}{6} \frac{\partial}{\partial E} v(E=E_f) T^2 \right] \frac{\partial}{\partial n} \tilde{\chi}_b(n, T=0) + \\ &+ \frac{\pi^2}{6} v^2(n) \frac{\partial^2}{\partial n^2} \tilde{\chi}_b(n, T=0) T^2 + O(T^4), \end{aligned} \quad (22)$$

где  $\delta\mu(T) = \mu(T) - E_f$ . Применяя низкотемпературное разложение к уравнению (20), получаем

$$v \delta\mu(T) + \frac{\pi^2}{6} \frac{\partial}{\partial E} v(E=E_f) T^2 + O(T^4) = 0, \quad (23)$$

откуда следует, что первое слагаемое в правой части (22) имеет порядок  $O(T^4)$ , что и доказывает справедливость (21) при условии линейной связи между  $\chi_d$  и  $n$ .

Таким образом, если в области температур  $T \ll T_f$  можно пренебречь неявной температурной зависимостью  $\tilde{\chi}_b$  через  $E_{\lambda k}(T)$ , то поведение  $\chi(T)$  в области низких температур определяется выражением (21) и, следовательно, содержит информацию о второй производной МВ по концентрации носителей тока при  $T=0$   $\chi''_{nn}(n, T=0)$  и, в частности, о знаке  $\chi''_{nn}(n, T=0)$ . При не слишком сильном размытии поверхности Ферми, связанном с неупорядоченностью материала, — не превышающем неопределенности в положении уровня Ферми из-за неточности определения концентрации носителей тока — это дает принципиальную возможность установить наличие особенности Ван Хофа на экспериментальной кривой  $\chi(n, T=0)$ .

На рис. 2 представлены возможные типы поведения  $\chi(n, T=0)$  вблизи точки минимума (точка  $M_0$ ) для  $B_c > 0$  или седловой точки 2-го типа (точка  $M_2$ ) для  $B_c < 0$  ( $a-s$ , верхняя строка). В нижней строке представлены соответствующие сглаженные зависимости, не содержащие особенности. Вертикальные штриховые линии разделяют области с  $\chi''_{nn}(n, T=0) \geq 0$ . Видно, что в случаях  $a-s$  достаточно анализа знаков  $\chi''_{nn}$ , чтобы установить наличие особенности при  $n=n_c$ . В случае  $s$  анализа знаков  $\chi''_{nn}$  недостаточно и требуется сравнение величин  $\chi''_{nn}(n, T=0)$  для кривой с особенностью и для сглаженной кривой. На сглаженной кривой  $\chi''_{nn}$  непрерывна и проходит через нуль в точке перегиба. В случае же критической точки  $\chi''_{nn}(n \rightarrow n_c+0) \sim \delta \chi''_{cnn}(n \rightarrow n_c+0) \sim (n-n_c)^{-1/2} \rightarrow -\infty$  (см. (6), (11)), а  $\chi''_{nn}(n \rightarrow n_c-0) > 0$  и конечна, что должно приводить

к сильной асимметрии низкотемпературного поведения МВ для  $n < n_c$  и  $n > n_c$ .

Для иллюстрации метода на рис. 2,  $\partial$  представлено поведение МВ для случая двух близких критических точек (минимума и седловой точки 1-го типа или седловой точки 2-го типа и максимума). Видно, что анализ

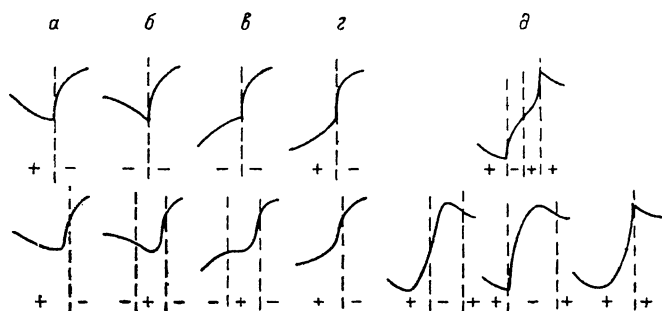


Рис. 2. Возможное (вверху) поведение  $\chi(n, T=0)$  в окрестности критической точки спектра (а—г) в случае двух близких критических точек (д) и соответствующие сглаженные зависимости (внизу).

знаков  $\chi''(n, T=0)$  позволяет сделать однозначный выбор между кривой с двумя особенностями (вверху) и кривыми с одной особенностью или без особенностей (внизу) в случае сложной, немонотонной, зависимости МВ от концентрации носителей тока.

б) Высокие температуры ( $T > T_f$ ). Для блоховских электронов температура вырождения  $T_f$ , вообще говоря, не совпадает с энергией Ферми  $E_f$ , как это имеет место для однородного электронного газа [16]. При наличии нескольких групп носителей тока имеется несколько температур вырождения  $T_f = |E_f - E_c|$ , где  $E_c$  определяет положение соответствующих критических точек спектра. Область применимости низкотемпературного разложения [14] определяется минимальной при

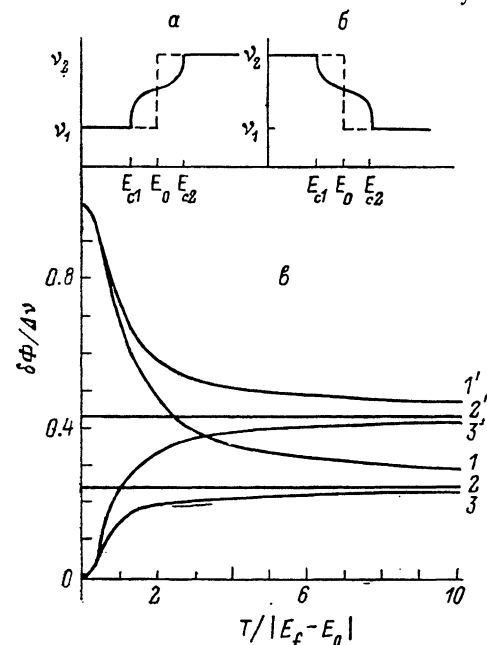


Рис. 3. Плотности состояний для случаев двух близких критических точек спектра (штрихи — соответствующие модели типа ступеньки, прямая и обратная) (а, б) и температурные зависимости  $\delta\Phi(E_f, T)/\Delta\nu$  ( $\Delta\nu = \nu_2 - \nu_1$ ) для модели ступеньки в плотностях состояний (в).

данной концентрации носителей тока  $n$  температурой вырождения, для которой сохраняется обозначение  $T_f$ .

Полное снятие вырождения происходит лишь при  $T \gg T_f^{(0)} = E_f$ , т. е. определяется максимальной температурой вырождения  $T_f^{(0)}$ . Таким образом, область температур  $T_f \leq T \leq T_f^{(0)}$  соответствует случаю промежуточного вырождения.

Если бы критические точки в глубине зоны отсутствовали, то  $T_f = T_f^{(0)} = E_f(n)$  монотонно росла бы с ростом концентрации носителей



тока. Поскольку параметром разложения (21), (22) является  $(T/T_f)^2$ , то соответственно росла бы в этом случае и область температур, в которой  $\chi(T) - \chi(0) \sim T^2$ . При этом для температур  $T < T_f^{(0)} = E_f$  отсутствовали бы точки экстремумов или перегиба на кривой  $\chi(T)$ , за исключением, возможно, концентраций носителей тока, соответствующих точкам перегиба на кривой  $\chi(n, T=0)$ . Нарушение такого поведения  $\chi(n, T)$  является косвенным признаком наличия критических точек в глубине зоны.

Вблизи критической точки спектра, когда  $T_f \ll T_f^{(0)}$ , температурная зависимость МВ при  $T \ll T_f$  определяется прежде всего температурным размытием поверхности Ферми, т. е. зависимостью  $\delta\chi_c(T)$ . Однако при  $T > T_f$  поведение МВ не является универсальным и зависит от поведения особой части плотности состояний  $\delta\nu$ , а при наличии других критических точек — от расстояния до них и от поведения плотности состояний в окрестности этих точек.

Рассмотрим ситуацию с двумя близкими критическими точками  $\Delta = E_{c2} - E_{c1} \ll E_{c1}, E_{c2}$ , которой соответствует поведение МВ на рис. 2, *д*. К такому поведению МВ между критическими точками, согласно рис. 1, приводят две различные пары точек: минимум при  $E_{c1}$  и седловая точка 1-го типа при  $E_{c2}$  или седловая точка 2-го типа при  $E_{c1}$  и максимум при  $E_{c2}$ . На рис. 3, *а*, *б* изображены соответствующие модельные плотности состояний в предположении сильного изменения плотности состояний  $\delta\nu(E)$  между  $E_{c1}$  и  $E_{c2}$ , связанного с критическими точками, на фоне слабо изменяющегося вклада в плотность состояний от остальной части спектра.

С помощью такой упрощенной модели плотности состояний можно показать, что в области температур  $\Delta < T \ll E_{c1}, E_{c2}$  возникает промежуточная асимптотика для  $\delta\chi_c(T)$ , причем  $\partial/\partial T \delta\chi_c(T)$  в этой области температур меняет знак при некоторой энергии  $E_{c1} < E_0 < E_{c2}$ . В предположении о слабой дисперсии коэффициента  $B_{\lambda k}$  в (1) получаем из (6) и (17)

$$\delta\chi_c(T) = B_c \delta\Phi(T), \quad \delta\Phi(T) = \int_{E_{c1}}^{E_{c2}} dE \delta\nu'_B(E) f(E - \mu). \quad (24)$$

При  $T \geq \Delta$  получаем из (24)

$$\delta\Phi(T) \approx \Delta\nu \begin{cases} f(E_0 - \mu), & (25a) \\ f(\mu - E_0), & (25b) \end{cases}$$

где  $\Delta\nu = \nu_2 - \nu_1$ ,  $E_{c1} < E_0 < E_{c2}$ , (25a) и (25b) соответствуют рис. 3, *а*, *б*.

На рис. 3, *в* представлены зависимости  $\delta\Phi(T)/\Delta\nu$  для высокой  $\gamma = \gamma = \Delta\nu/\nu_1 = 4$  ( $I-3'$ ) и низкой  $\gamma = 0.4$  ( $I'-3'$ ) «ступенек» в плотности состояний для случаев  $E_f > E_0$ ,  $E_f = E_0$ ,  $E_f < E_0$  для прямой ступеньки и  $E_f < E_0$ ,  $E_f = E_0$ ,  $E_f > E_0$  для обратной ступеньки. Зависимость  $\mu(T)$  была получена из решения уравнения (20) в области температур  $T \geq \Delta$ , из которого следует также уравнение для  $E_0$

$$1 - \frac{1}{\Delta\nu\Delta} \int_{E_{c1}}^{E_{c2}} dE \delta\nu(E) - \frac{E_0 - E_{c1}}{\Delta} - \frac{\gamma}{\Delta\nu\Delta} \int_{E_{c1}}^{E_0} dE \delta\nu(E) = 0. \quad (26)$$

Учитывая, что  $\delta\Phi(T=0) = \delta\nu(E_f)$ , а также различия в поведении  $\delta\Phi(T \geq \Delta)$  для случаев *а* и *б* (рис. 3), находим, что температурные зависимости МВ в области высоких температур позволяют различать эти две ситуации при одинаковом низкотемпературном поведении МВ. Заметим также, что фактически переход от низкотемпературного поведения, описываемого выражениями (21)–(23), к высокотемпературному поведению, «хвост» которого при  $T \geq \Delta$  рассмотрен выше, происходит при  $T \sim T_f$ .

В заключение считаю своим приятным долгом поблагодарить В. Л. Гуревича и участников руководимого им семинара за интерес к работе и полезное обсуждение. Я признателен также Ю. И. Равичу и А. К. Таганцеву за обсуждение работы и ряд важных замечаний.

#### Список литературы

- [1] Van Hove L. // *Phys. Rev.* 1953. V. 89. N 6. P. 1189—1193.
- [2] Лифшиц И. М. // *ЖЭТФ.* 1960. Т. 38. № 5. С. 1569—1576.
- [3] Вакс В. Г., Трефилов А. В., Фомичев С. В. // *ЖЭТФ.* 1981. Т. 80. № 4. С. 1613—1621.
- [4] Егоров В. С., Федоров А. Н. // *ЖЭТФ.* 1983. Т. 85. № 5. С. 1647—1657.
- [5] Herman F., Cortum R. L., Ortenburger I. B., Van Dyke J. R. // *J. de Physique.* 1968. V. 29. N 11—12. Suppl. P. 63—77.
- [6] Bowers R., Vafet Y. // *Phys. Rev.* 1959. V. 115. N 5. P. 1165—1172.
- [7] Misra P. K., Kleinman L. // *Phys. Lett.* 1972. V. 40A. N 5. P. 359—360.
- [8] Бенеславский С. Д., Фальковский Л. А. // *ЖЭТФ.* 1975. Т. 69. № 3. С. 1063—1071.
- [9] Фальковский Л. А. // *ЖЭТФ.* 1981. Т. 80. № 1. С. 334—348. Ч. 1.
- [10] Blount E. I. // *Phys. Rev.* 1962. V. 126. N 5. P. 1636—1653.
- [11] Roth L. M. // *J. Phys. Chem. Sol.* 1962. V. 23. N 5. P. 433—446.
- [12] Misra P. K., Kleinman L. // *Phys. Rev. B.* 1972. V. 5. N 11. P. 4581—4597.
- [13] Cohen M. H., Blount E. I. // *Phil. Mag.* 1960. V. 5. N 50. P. 115—126.
- [14] Ландау Л. Д., Лифшиц Е. М. *Статистическая физика. Ч. I.* М.: Наука, 1976. 584 с.
- [15] Zawadski W. // *Phys. St. Sol.* 1963. V. 3. N 8. P. 1421—1428.
- [16] Каганов М. И., Лифшиц И. М. // *УФН.* 1979. Т. 129. № 3. С. 487—529.

Институт химии силикатов АН СССР  
Ленинград

Поступило в Редакцию  
23 ноября 1989 г.